



**Дагестанский научный центр  
Российской академии наук  
Институт физики**

**Лаборатория вычислительной физики и  
физики фазовых переходов**

367003, Российская Федерация, Махачкала, Ярагского, 94, Институт физики ДагНЦ РАН  
тел: (8722) 62-66-75, (8722) 62-89-00 факс: (8722) 62-89-00 e-mail: m\_akai@iwt.ru



**ФАЗОВЫЕ ПЕРЕХОДЫ В АНТИФЕРРОМАГНИТНОЙ  
МОДЕЛИ ГЕЙЗЕНБЕРГА НА СЛОИСТОЙ  
ТРЕУГОЛЬНОЙ РЕШЕТКЕ.**

***М.К. Рамазанов, А.К. Муртазаев, М.К. Бадиев***  
***Институт физики ДагНЦ РАН, 367003, Махачкала, Россия***  
***e-mail: sheikh77@mail.ru***

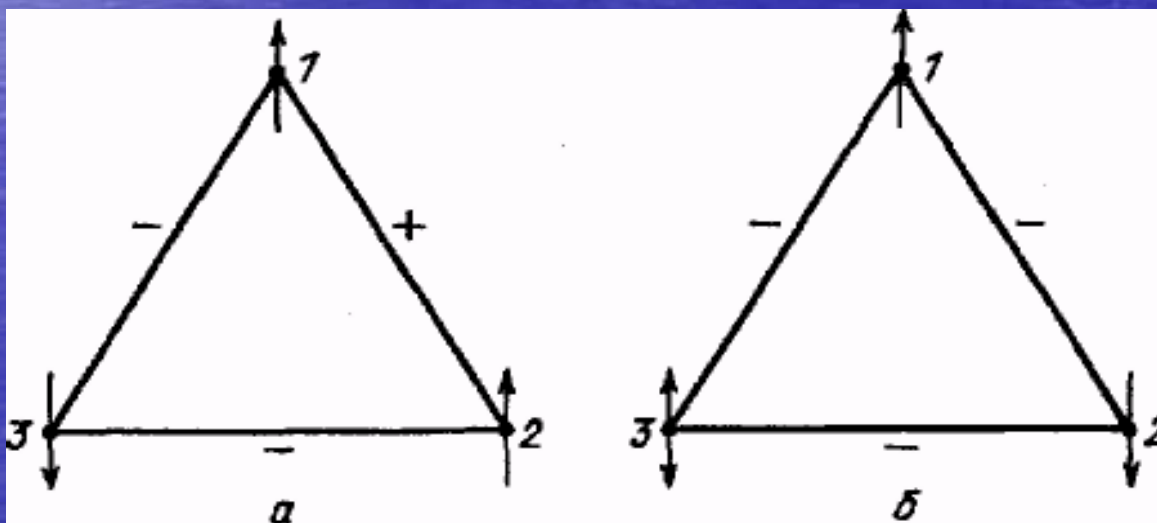
**Исследование ФП и КЯ ФС – предмет интенсивных исследований и дискуссий последних десятилетий!!!!**

**Существуют 3 точки зрения:**

**1. Универсальное поведение ФС.**

**2. ФП 2 рода и новый класс универсальности КП**

**3. ФП 1 рода.**



**Фрустрации в системе из трех спинов.**

# Модели фрустрированных систем:

1. Stacked triangular antiferromagnetic lattices (STA)
2. Body centered tetragonal (bct) Helimagnets
3. The simple cubic  $J_1$ - $J_2$  lattice
4. Villain lattice and fully frustrated simple cubic lattice
5. Face centered cubic lattice (fcc)
6. Hexagonal-close-packed lattice (hcp)
7. Stacked Triangular Antiferromagnetic lattices with Rigidity (STAR)
8. Dihedral lattices  $V_{N,2}$
9. Right-handed trihedral lattices  $V_{3,3}$

# Антиферромагнитная трехмерная модель Гейзенберга на слоистой треугольной решетке.

Гамильтониан

$$H = -J \sum_{\langle ij \rangle} (\vec{S}_i \cdot \vec{S}_j) - J' \sum_{\langle ik \rangle} (\vec{S}_i \cdot \vec{S}_k),$$

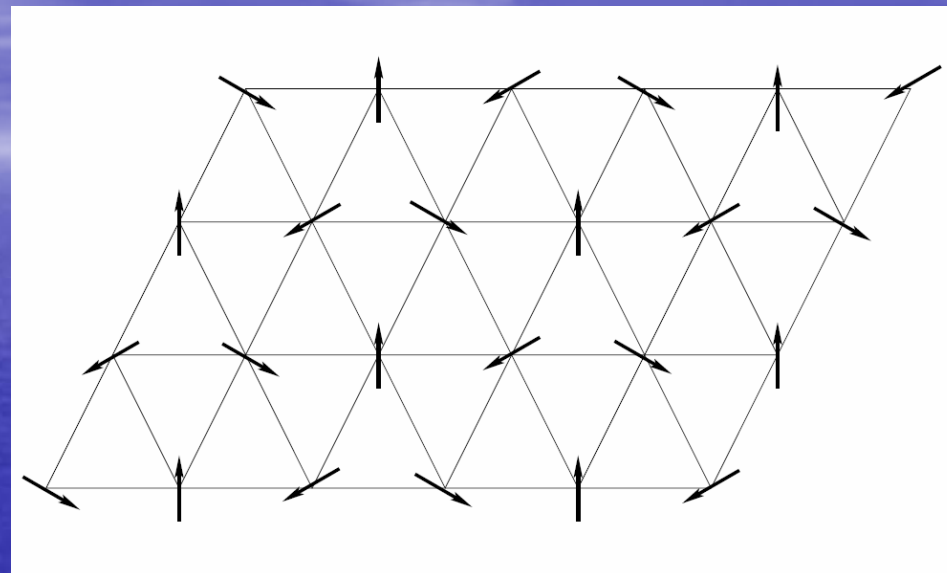
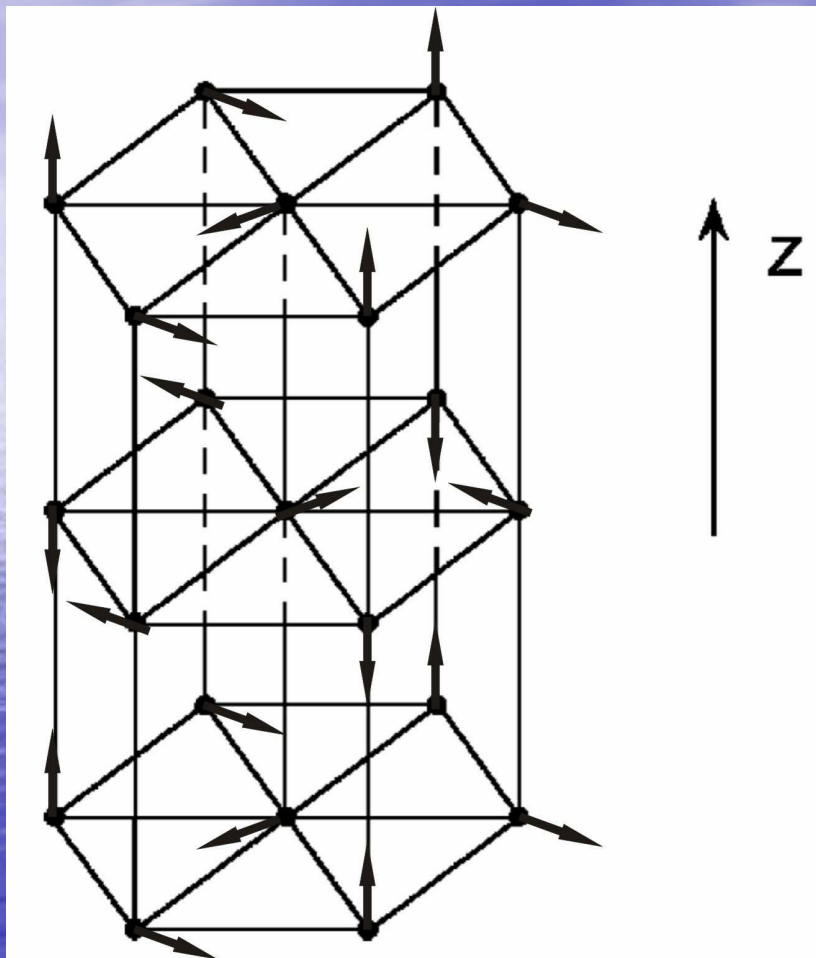
где  $\vec{S}_i$  – трехкомпонентный единичный вектор,  $\vec{S}_i = (S_i^x, S_i^y, S_i^z)$   
 $J < 0$  и  $J' < 0$  – константы антиферромагнитного обменного взаимодействия.

**Первый член** - характеризует взаимодействие всех ближайших соседей, которое берется одинаковой как внутри слоёв, так и между слоями.

**Второй член** - характеризует взаимодействие вторых ближайших соседей, находящихся в том же слое.

$R = J' / J$  – величина взаимодействия вторых ближайших соседей.

**Решетка состоит из двумерных треугольных слоев  
сложенных по ортогональной оси.**

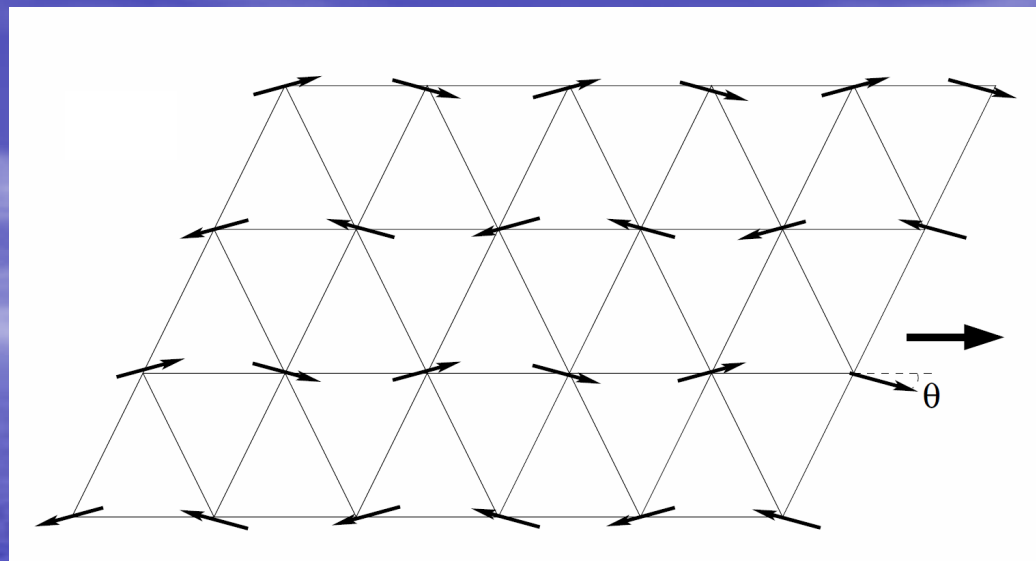


**Основное состояние  
системы для случая  $R=0$ .**

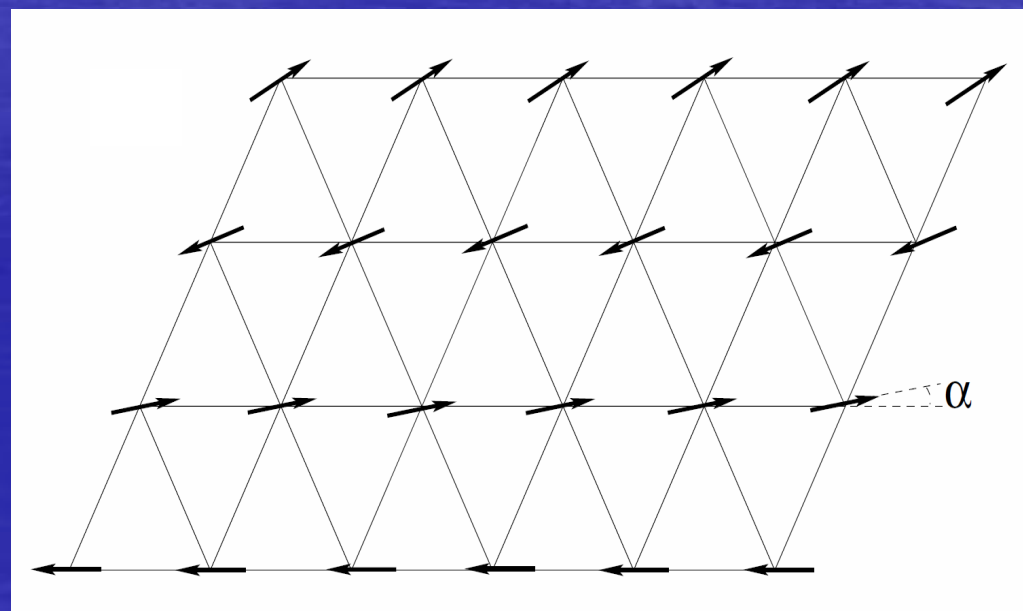
**( $120^\circ$  структура)**

**Фрустрации обусловлены геометрией решетки**

**Основное состояние  
системы для случая  
 $0.125 \leq R \leq 1$**



**Основное состояние  
системы для случая  
 $R > 1$**



**Интерес к этой модели обусловлен  
следующими основными причинами:**

- 1. Фрустрированные системы обладают необычными магнитными свойствами, имеют богатое разнообразие фаз и фазовых переходов !!!!!!!!!!!!!!!!!!!!!!!!!!!!!!!!!!!!!!!**
- 2. Существование нового кирального класса универсальности ?????????????????????????????????????**
- 3. Природа ФАЗОВЫХ ПЕРЕХОДОВ и зависимость характера ФП от различных факторов (учета взаимодействия вторых ближайших соседей и др.) ?????**

# ОБЗОР ЛИТЕРАТУРЫ:

Значения критических показателей для трехмерной антиферромагнитной модели Гейзенберга на слоистой треугольной решетке.

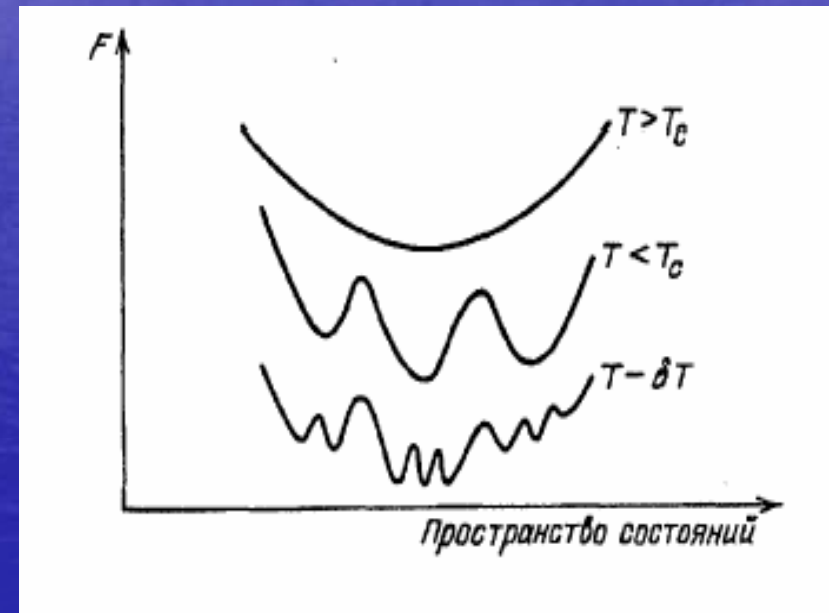
Ссылка	$L_{\max}$	$\alpha$	$\beta$	$\gamma$	$\nu$	$\eta$	$\beta_k$	$\gamma_k$	$\nu_k$
1	60	0.24(8)	0.30(2)	1.17(7)	0.59(2)	-	0.55(2)	0.72(2)	0.60(2)
2	36	-	0.285	1.185	0.586	-	0.50(2)	0.82(2)	0.60(2)
3	48	-	0.289	1.176	0.585	-	-	-	-
4	36	-	0.28	-	0.59	-	-	-	-
5	80	ФП 1 го рода							
6	150	ФП 1 го рода							
7	-	ФП 1 го рода							

1. H. Kawamura, J. Phys. Soc. Jpn. 61, 1299 (1992), 58, 584 (1989), 56,474 (1987)
2. M.L. Plumer and A. Mailhot, Phys. Rev. B 50, 16113 (1994)
3. T. Bhattacharya, A. Billoire, R. Lacaze and Th. Jolicoeur, J. Phys. I (Paris) 4, 181 (1994)
4. D. Loison and H.T. Diep, Phys. Rev. B 50, 16453 (1994)
5. M. Itakura, J. Phys. Soc. Jpn 72, 74 (2003)
6. V. Thanh Ngo and H.T. Diep, Phys. Rev. E 78, 031119 (2008).
7. M. Tisser, B. Delamotte, and D. Mouhanna. Phys.Rev. Lett. 84, 5208 (2000).

# Проблемы исследования

1. Критического замедления
2. Многочисленные локальные минимумы энергии.

Поведение структуры рельефа свободной энергии при понижении температуры.



Справиться с трудностями помогают:

1. Репличные алгоритмы метода Монте Карло;
2. Усреднение по начальным конфигурациям.

# Метод исследования

## Репличные алгоритмы метода МК

позволяют избежать замораживания системы в состояниях с минимальной энергией:

1. **Мультиканонический алгоритм** - выполняется случайное блуждание по энергетическим минимумам.
2. **Алгоритм расширенного ансамбля** - выполняется случайное блуждание в температурном интервале, что стимулирует случайное блуждание по энергетическим минимумам.
3.  **$1/k$ -выборочный алгоритм** – основан на случайном блуждании по энтропии, которое в свою очередь позволяет стимулировать случайное блуждание в поле потенциальной энергии.
4. **Репличный обменный алгоритм** - выполняется случайное блуждание по температурному интервалу.

**Наиболее эффективным считается репличный обменный алгоритм.**

# Репличный обменный алгоритм метода МК

Репличный обменный алгоритм был развит для параллельного моделирования системы при разных температурах.

## Преимущество:

Легкость определения вероятности. Эта вероятность пропорциональна бoльцмановскому фактору.

## Недостаток:

Для увеличения эффективности требуется увеличение числа реплик, что требует больших компьютерных мощностей для моделирования сложных систем.

Репличный обменный алгоритм был использован нами в следующем виде:

1. Одновременно моделируются независимо друг от друга обычным методом МК две реплики  $X$  и  $X'$  с разными температурами  $T$  и  $T'$ .

2. После выполнения 100 МКшагов/спин эти реплики обмениваются данными в соответствии со схемой Метрополиса с вероятностью

$$w(X \rightarrow X') = \begin{cases} 1, & \text{for } \Delta \leq 0, \\ \exp(-\Delta), & \text{for } \Delta > 0, \end{cases}$$

где  $\Delta = (U - U') \cdot (1/k_B T - 1/k_B T')$

$U$  и  $U'$  - внутренняя энергия первой и второй реплики соответственно.  
 $T$  и  $T'$  - температуры реплик.

Расчеты проводились для систем с ПГУ и с линейными размерами  $L \times L \times L = N$ ,  $L = 12 \div 30$ .

## Рассчитываемые параметры:

**ТЕПЛОЕМКОСТЬ**

$$C = (NK^2) \left( \langle U^2 \rangle - \langle U \rangle^2 \right)$$

**ВОСПРИИМЧИВОСТЬ**

$$\chi = \begin{cases} (NK) \left( \langle m^2 \rangle - \langle |m| \rangle^2 \right), & T < T_N \\ (NK) \langle m^2 \rangle, & T \geq T_N \end{cases}$$

**КУМУЛЯНТ БИНДЕРА**

где  $V_L$  – энергетический кумулянт,  
 $U_L$  – магнитный кумулянт.

$$K = |J| / k_B T,$$

$$U_L = 1 - \frac{\langle m^4 \rangle_L}{3 \langle m^2 \rangle_L^2}$$

$$V_L = 1 - \frac{\langle U^4 \rangle_L}{3 \langle U^2 \rangle_L^2}$$

# Рассчитываемые параметры:

## Магнитный параметр порядка:

$M_A, M_B$  и  $M_C$  - намагниченности трех подрешеток, соответственно.

## Киральный параметр порядка:

$p=(x,y,z)$  – нумерует треугольные  
плакеты

## Киральная восприимчивость:

$$m = \frac{3}{N} \sqrt{\langle M_A^2 + M_B^2 + M_C^2 \rangle / 3}$$

$$\langle |\vec{M}_r| \rangle = \langle \sqrt{S_x^2 + S_y^2 + S_z^2} \rangle$$

$r = A, B, C$

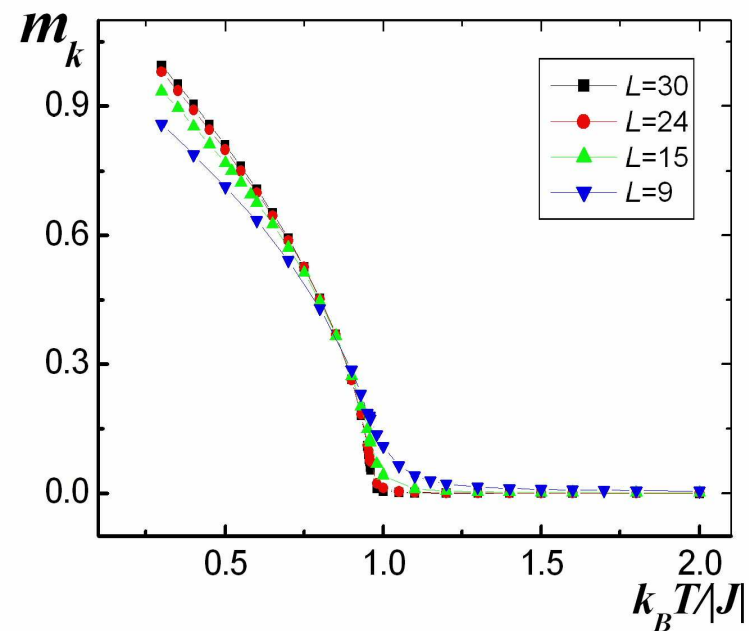
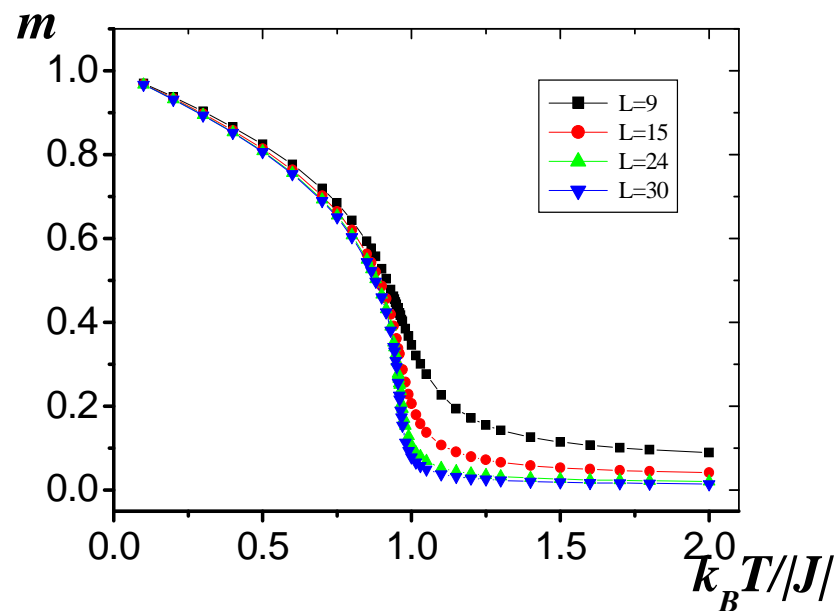
$$m_k = \frac{1}{n} \sum_p m_{kp}$$

$$m_{kp} = \frac{2}{3\sqrt{3}} \sum_{\langle ij \rangle} [S_i \times S_j]_p$$

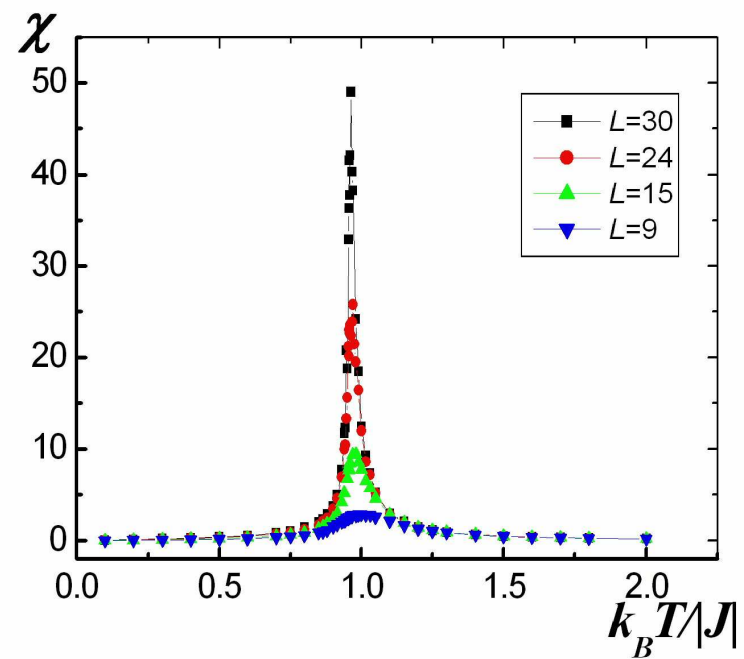
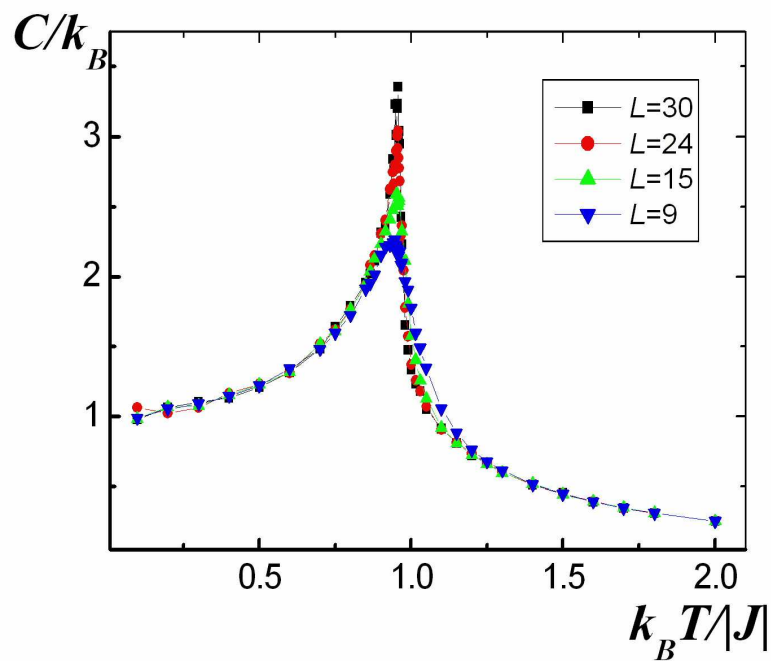
$$\chi_k = \begin{cases} (NK) \left( \langle m_k^2 \rangle - \langle |\vec{m}_k| \rangle^2 \right), & T < T_k \\ (NK) \langle m_k^2 \rangle, & T \geq T_k \end{cases}$$

# Зависимость магнитного $m$ и кирального параметра порядка $m_k$ от температуры $k_B T/|J|$ .

$R=0$

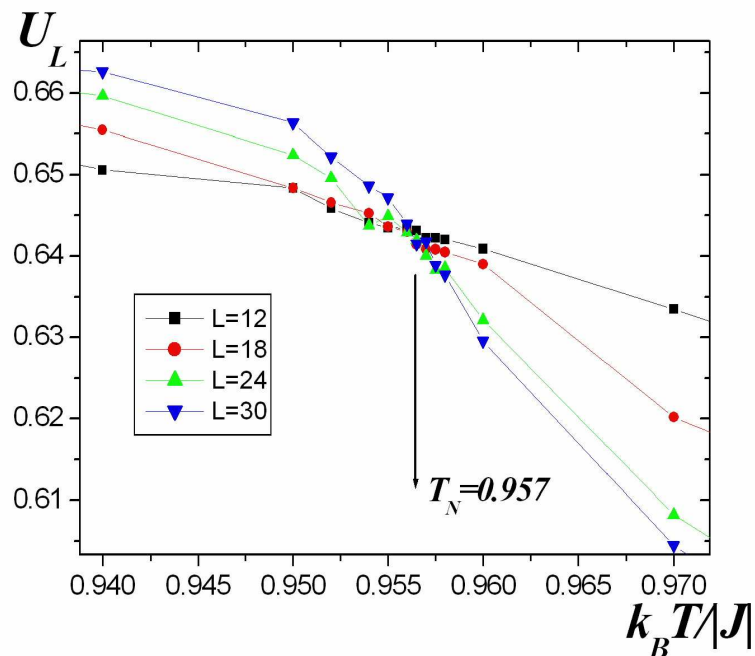


# Зависимость теплоемкости и восприимчивости от температуры $k_B T/|J|$ .



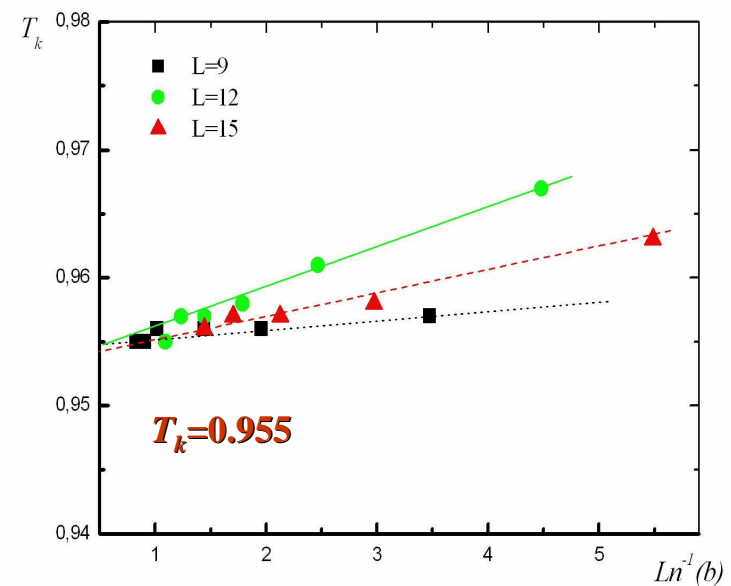
# Определение критической температуры $T_N$ .

## Метод кумулянтов Биндера



Зависимость Кумулянта Биндера от температуры.

## Метод пересечения кумулянтов ("cumulant crossing")

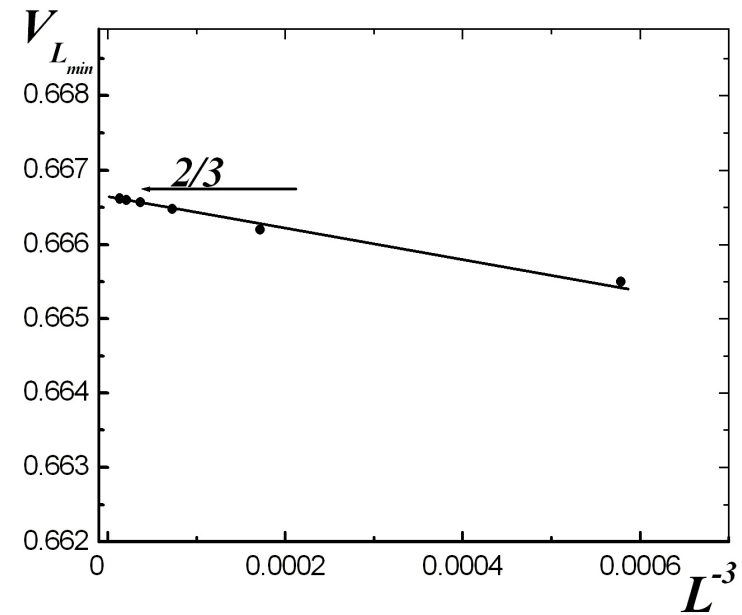
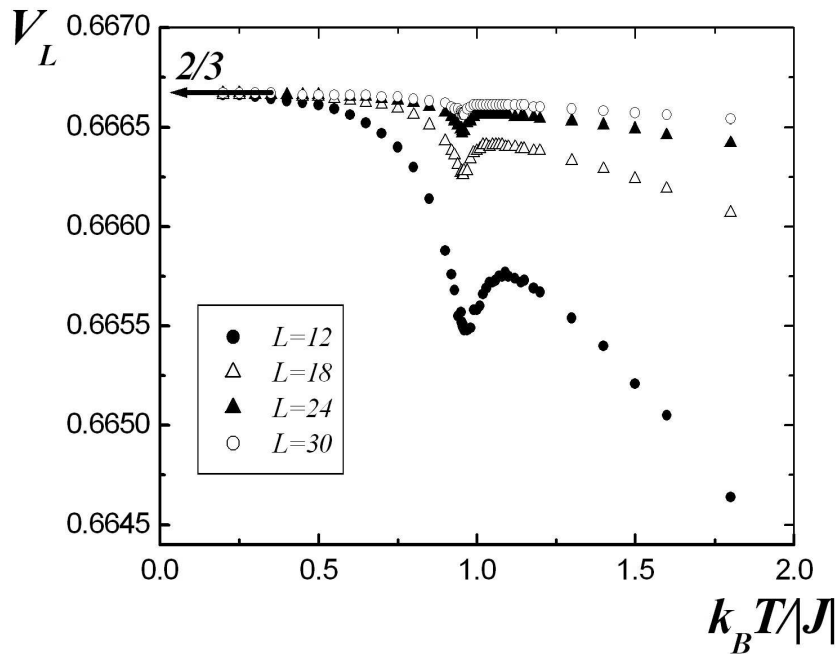


Зависимость температуры  $T_k$  от  $\ln^{-1}(b)$  для разных  $L$ , где  $b=L'/L$ .

ФП первого рода характеризуются следующими отличительными особенностями:

1. Величина  $V_L$  стремится к некоторому нетривиальному значению  $V^*$  согласно выражению

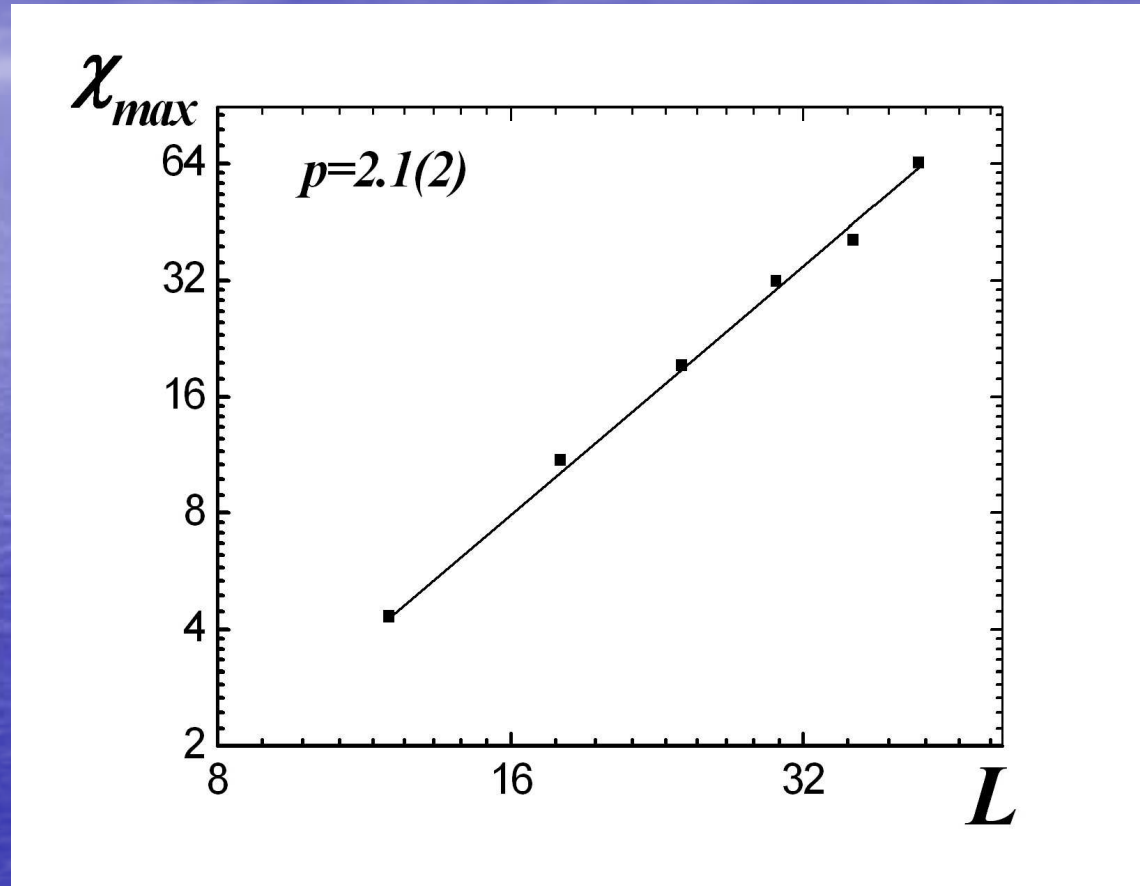
$$V_L = V^* + bL^{-d} \quad \text{при } L \rightarrow \infty \text{ и } T = T_N(L), \text{ где величина } V^* \text{ отлична от } 2/3.$$



Зависимость энергетического кумулянта  $V_L$  от температуры  $k_B T / |J|$ .

Зависимость энергетического кумулянта  $V_{L(min)}$  от  $L^{-3}$ .

**2. Максимумы теплоемкости  $C$  и восприимчивости  $\chi$  пропорциональны объему  $L^d$ , где  $d$  – размерность системы.**



**Зависимость максимума восприимчивости  $\chi_{max}$  от  $L$ .**

# Анализ данных на основе теории конечно-размерного скейлинга (КРС)

$$F(T, L) = L^{-d} F(tL^{1/\nu}),$$

$$C(T, L) \sim L^{\alpha/\nu} C_0(tL^{1/\nu}),$$

$$\chi(T, L) \sim L^{\gamma/\nu} \chi_0(tL^{1/\nu}),$$

$L \gg 1, t \ll 1. T = T_N \rightarrow$

$$C_{\max} = c_1 + c_2 L^{\alpha/\nu}$$

$$\ln(\chi / L^2) = c - \eta \ln L$$

$$\frac{k_B T_C(L)}{J} = \frac{k_B T_C}{J} + \alpha L^{-1/\nu},$$

$$m(T, L) \sim L^{-\beta/\nu} m_0(tL^{1/\nu}),$$

$$V_i = \frac{\langle m^i E \rangle}{\langle m^i \rangle} - \langle E \rangle$$

$$m \sim L^{-\beta/\nu}, \quad \chi \sim L^{\gamma/\nu}$$

$$V_n = L^{1/\nu} g_{V_n}$$

$$g_{V_n} = \text{Const}$$

## Анализ данных на основе теории (КРС)

$$m_k \propto L^{-\beta_k / \nu_k}$$

$$\chi_k \propto L^{\gamma_k / \nu_k}$$

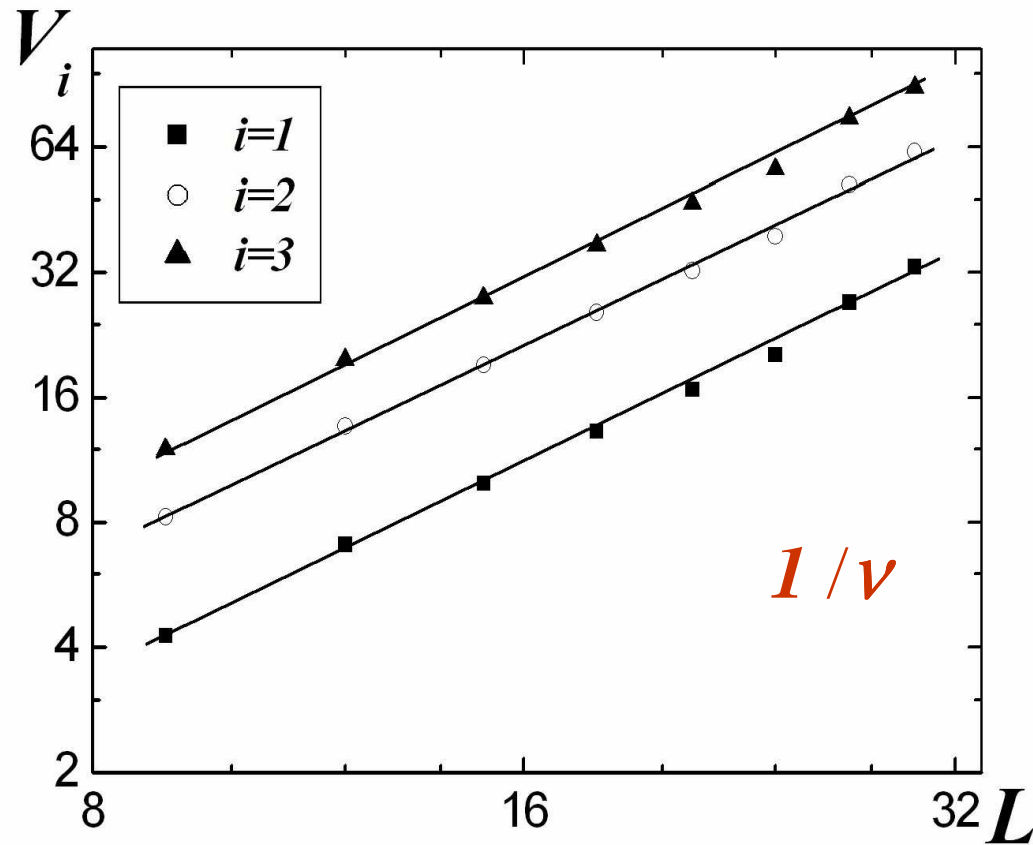
$$V_{nk} = L^{1/\nu_k} g_{V_n}$$

$$V_{ki} = \frac{\langle m_k^i E \rangle}{\langle m_k^i \rangle} - \langle E \rangle$$

( $i=1, 2, 3, 4$ ).

Для определения киральных критических параметров

# Зависимость параметра $V_i$ от линейных размеров системы $L$ при $T=T_N$ .



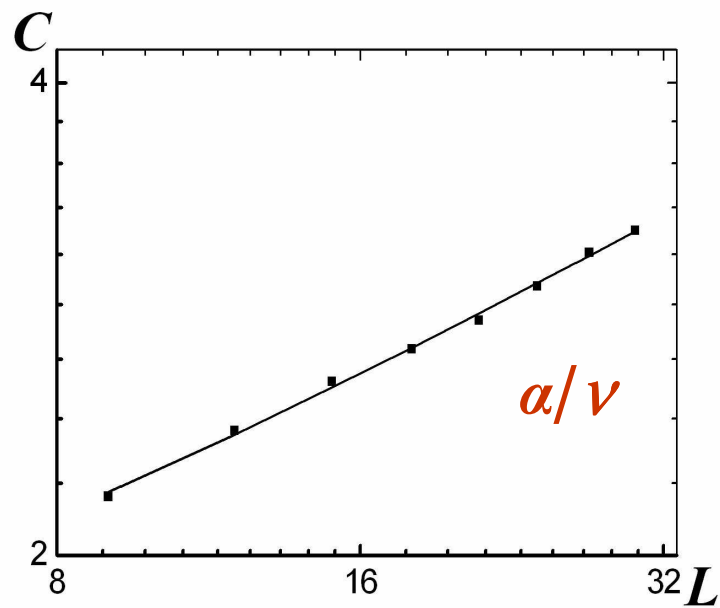
$$V_i = \frac{\langle m^i E \rangle}{\langle m^i \rangle} - \langle E \rangle$$

$$V_n = L^{1/\nu} g_{V_n}$$

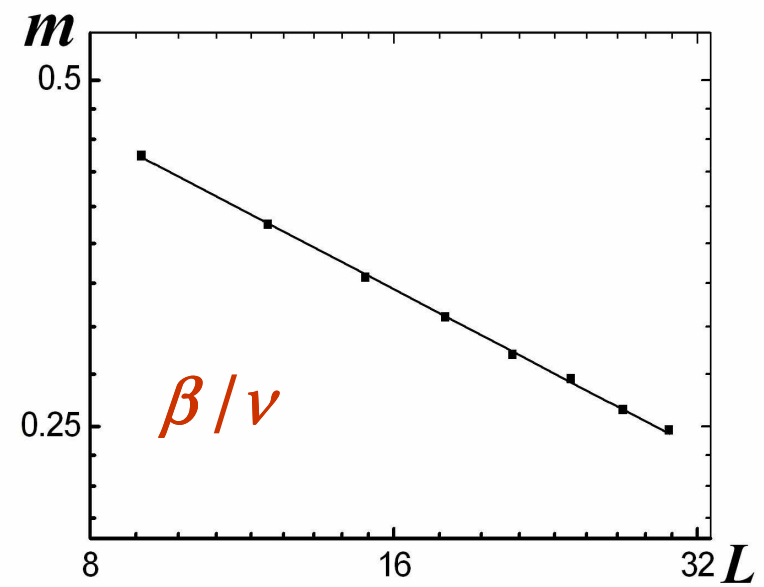
$$g_{V_n} = Const$$

$\nu=0.65(1)$

Зависимость теплоемкости и магнитного параметра порядка от линейных размеров системы  $L$  при  $T=T_N$ .

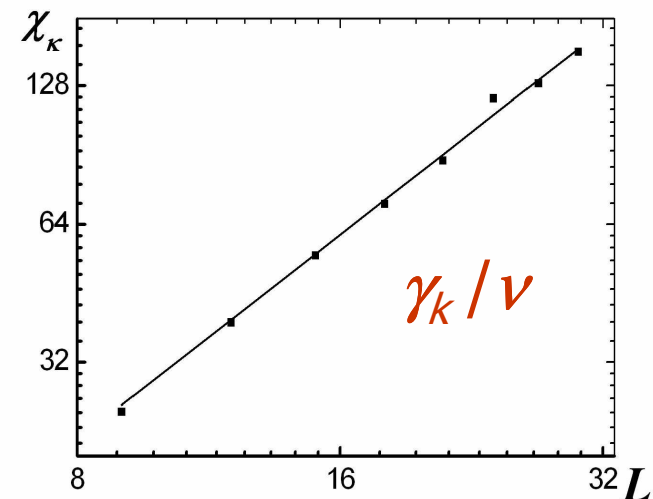
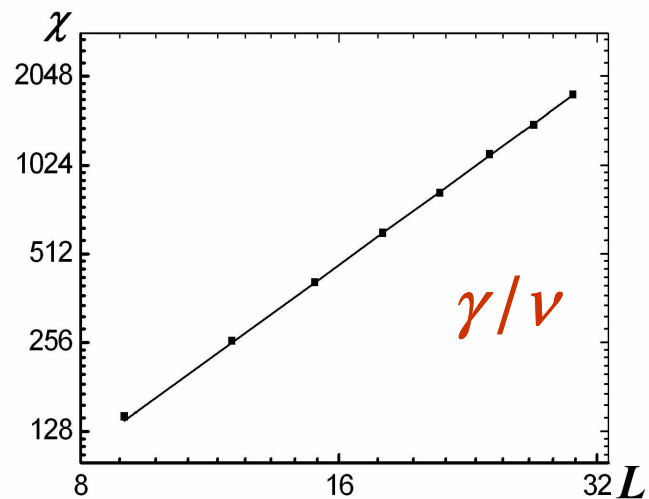


$$\alpha=0.18(2)$$



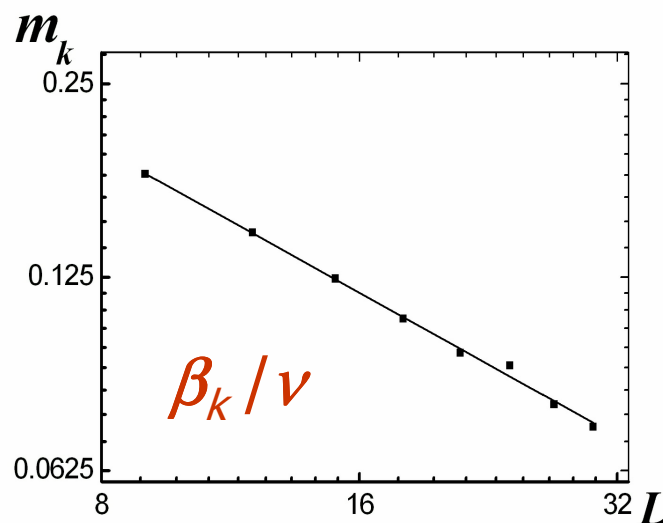
$$\beta=0.30(2)$$

# Зависимость восприимчивости и кирального параметра порядка от линейных размеров системы $L$ при $T=T_N$ .



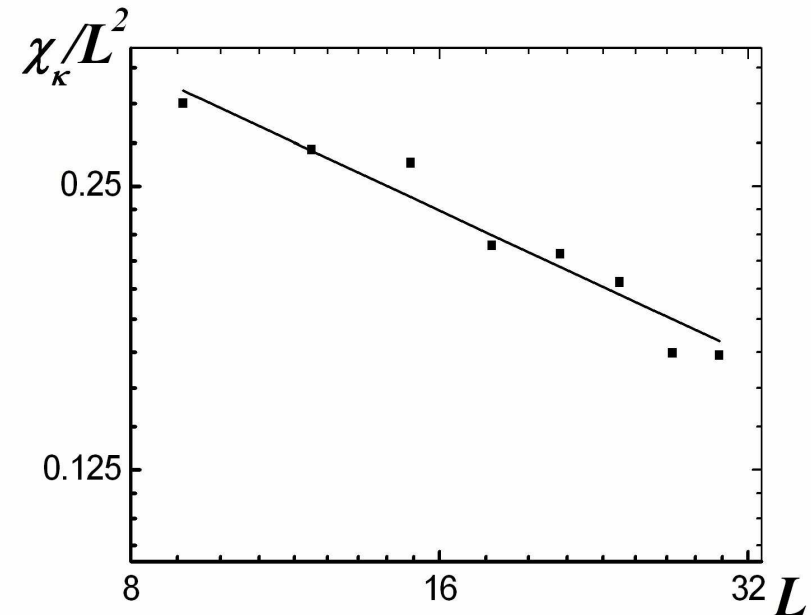
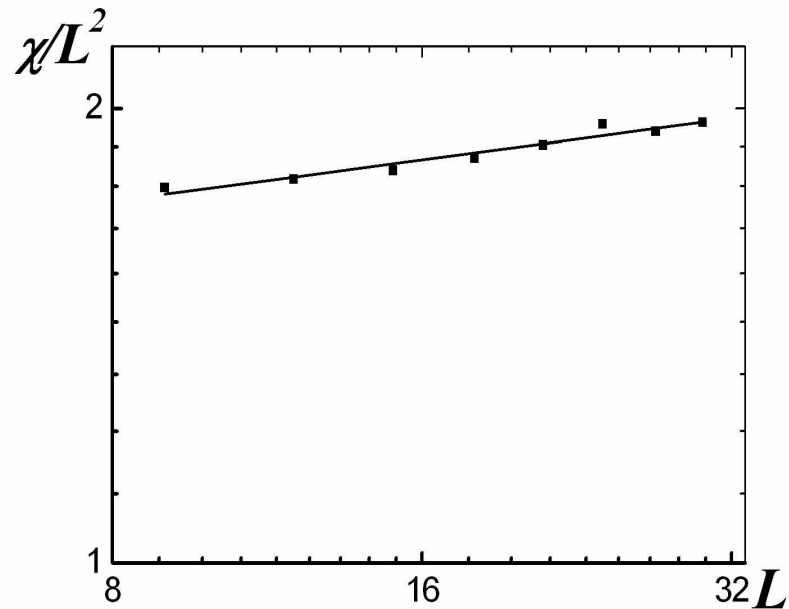
$$\gamma=1.27(2)$$

$$\beta_k=0.53(2)$$



$$\gamma_k=0.84(4)$$

Зависимость величины  $\chi/L^2$  от линейных размеров системы  $L$  при  $T=T_N$ .



$$\eta = -0.06(3)$$

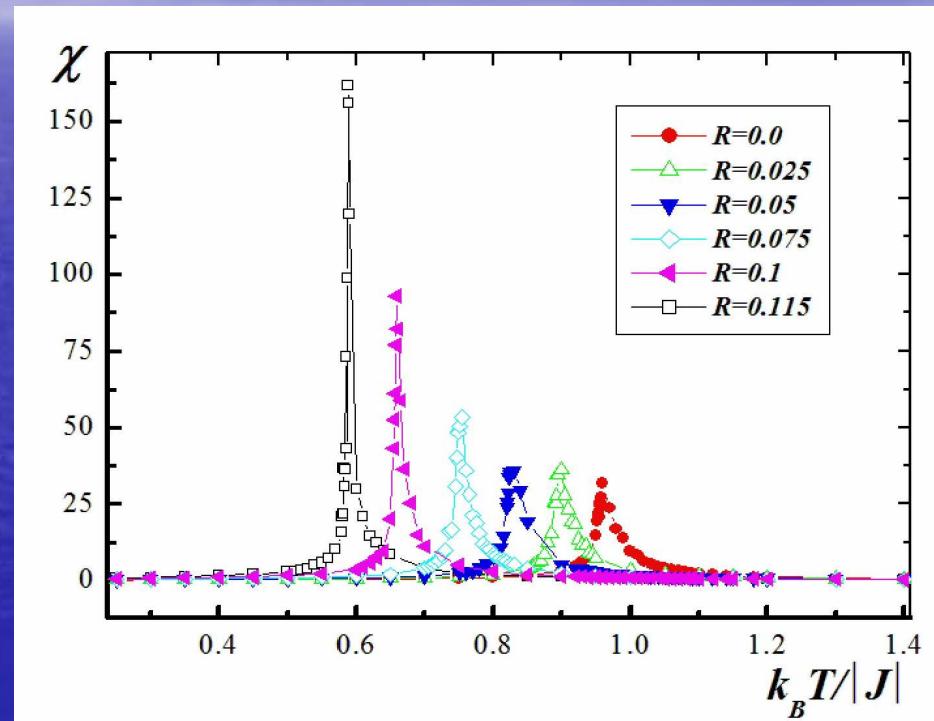
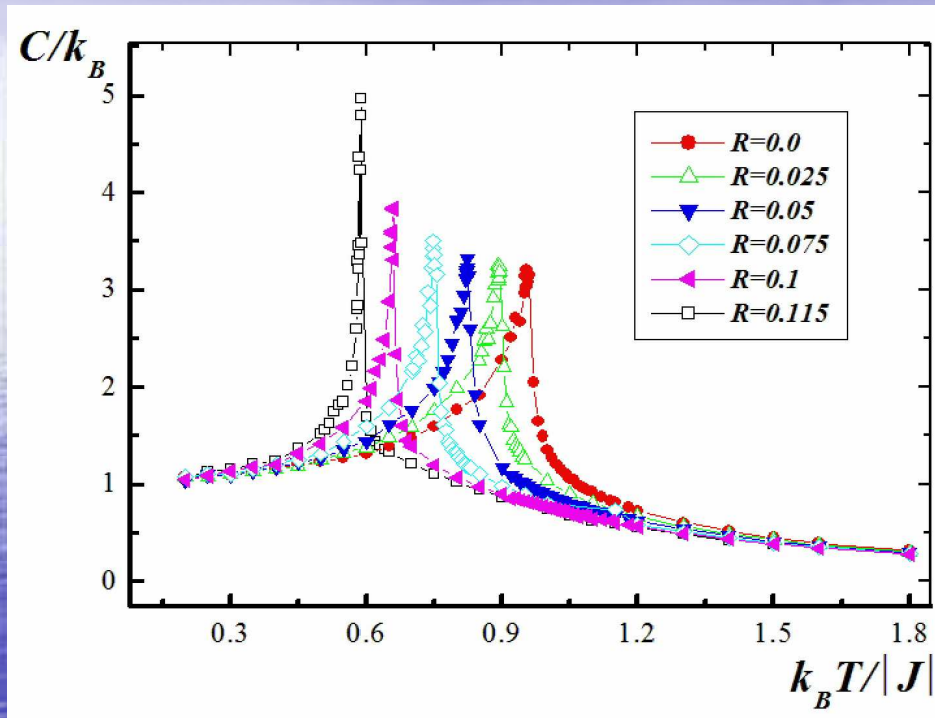
$$\eta_k = 0.63(4)$$

$$\ln(\chi/L^2) = c - \eta \ln L$$

**Значения критических параметров для трехмерной антиферромагнитной модели Гейзенберга на слоистой треугольной решетке.**

КП	Наши данные	Теория				Метод МК			Эксп-т	Чистая модель
$T_N$	0.957(1)	-	-	-	-	0.954(2)	0.955(2)	0.9577(2)	-	1.443
$T_k$	0.955(2)	-	-	-	-	-	0.958(2)	0.9577(2)	-	-
$\nu$	0.65(1)	0.63	0.53	0.55	0.63(5)	0.53(3)	0.59(2)	0.586(8)	0.54(3)	0.7112(5)
$\alpha$	0.18(2)	0.11	-	0.35	-	0.4(1)	0.24(8)	-	0.39(9)	-0.1336(1)
$\beta$	0.30(2)	0.31	0.28	0.30	-	0.25(2)	0.30(2)	0.285(11)	0.25(1)	0.3689(3)
$\gamma$	1.27(2)	1.26	1.03	1.06	1.20(8)	1.1(1)	1.17(7)	1.185(3)	1.10(5)	1.3960(9)
$\nu_k$	0.65(2)	-	-	-	-	-	0.60(2)	0.60(2)	-	-
$\beta_k$	0.53(2)	-	-	-	-	-	0.55(2)	0.50(2)	0.44(2)	-
$\gamma_k$	0.84(4)	-	-	-	-	-	0.72(2)	0.82(2)	0.84(7)	-
$\eta$	-0.06(3)	0.0	0.072	0.08	0.08(3)	-	-	-	-	0.0375(5)
$\eta_k$	0.63(4)	-	-	-	-	-	-	-	-	-

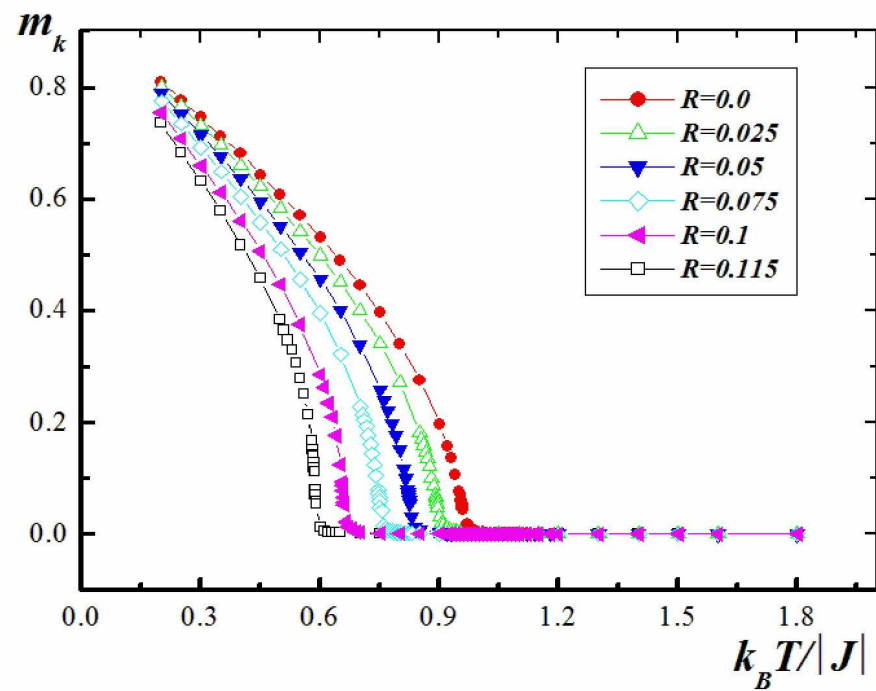
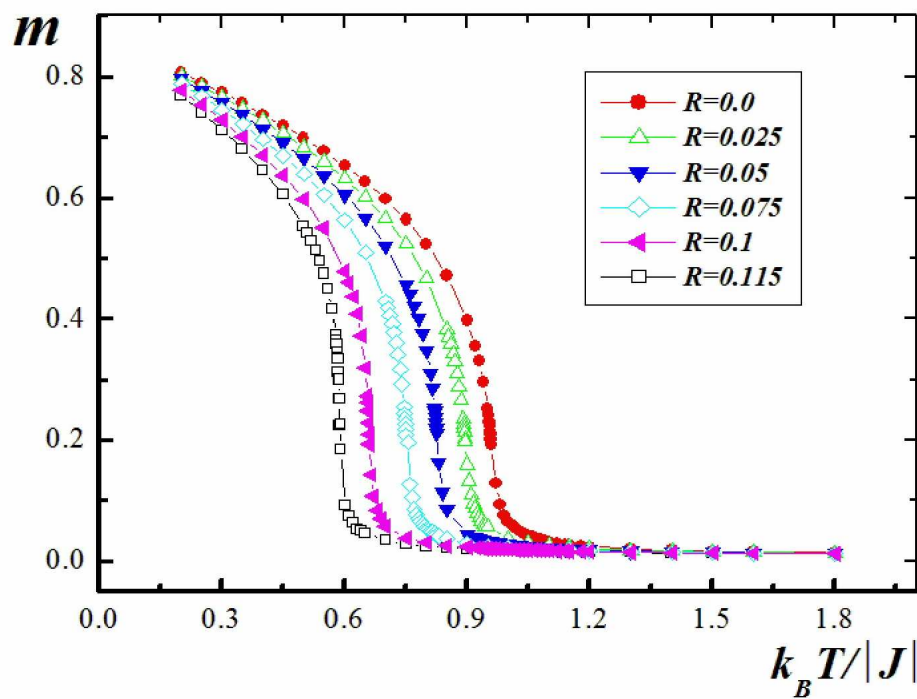
# Зависимость теплоемкости и восприимчивости от температуры $k_B T/|J|$ для разных $R$ .



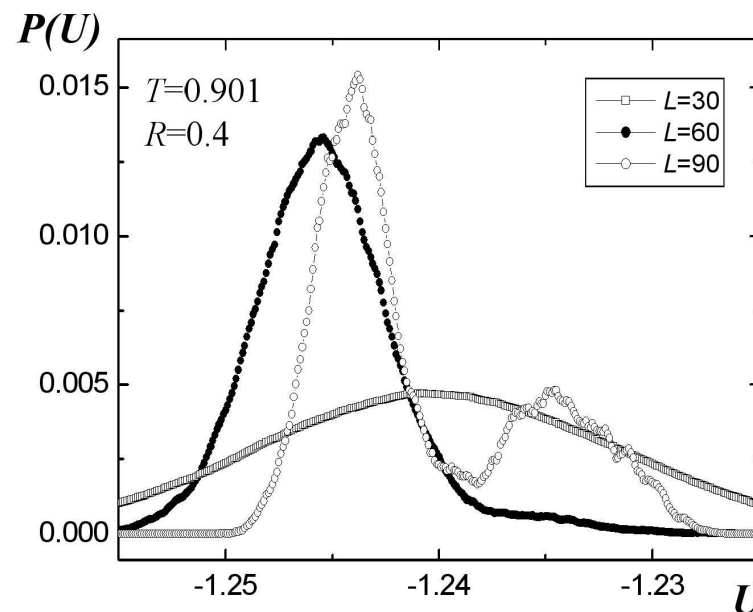
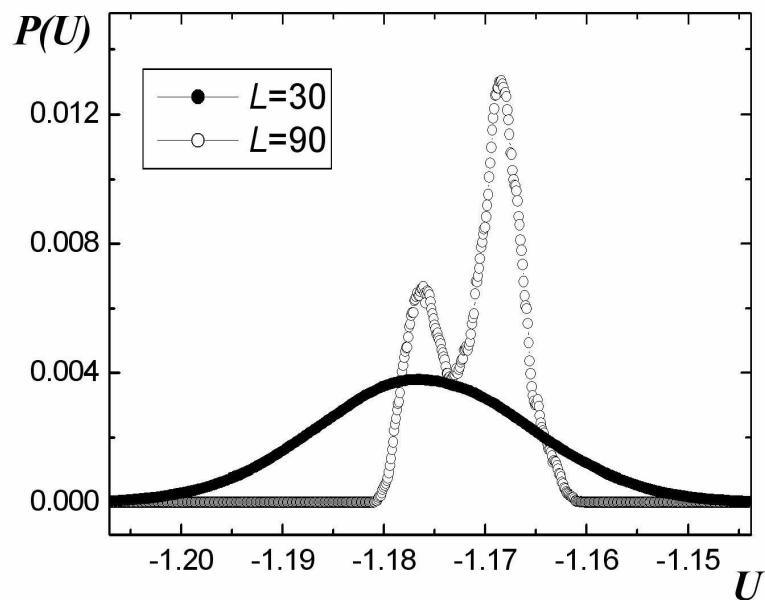
$$R = \frac{J'}{J}$$

– величина взаимодействия вторых ближайших соседей

# Зависимость магнитного и кирального параметра порядка от температуры $k_B T/|J|$ для разных $R$ .

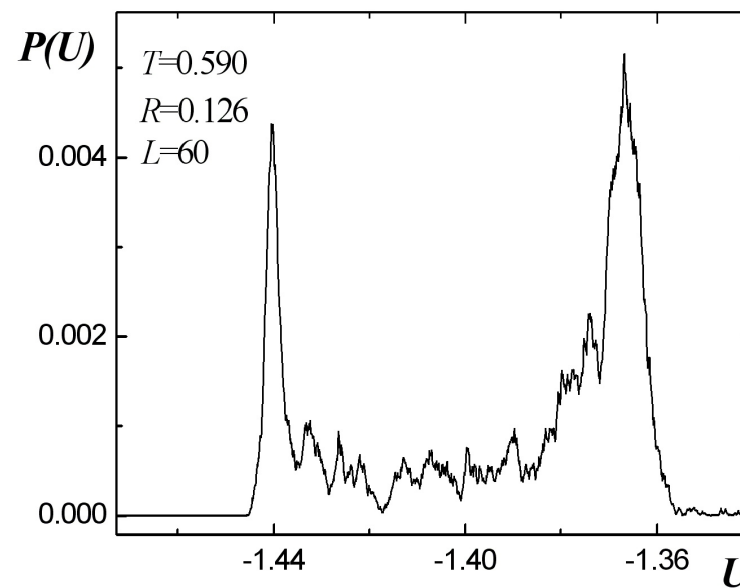
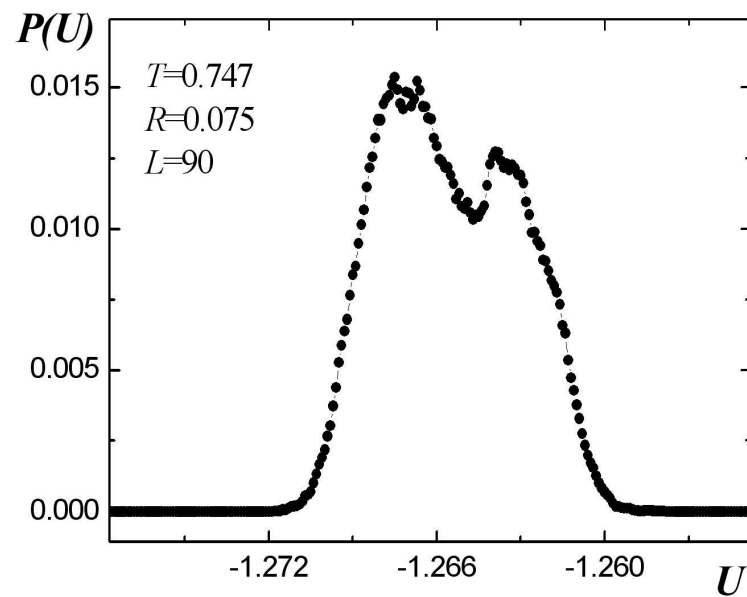


## Энергетические гистограммы для $R=0$ и $R=0.4$

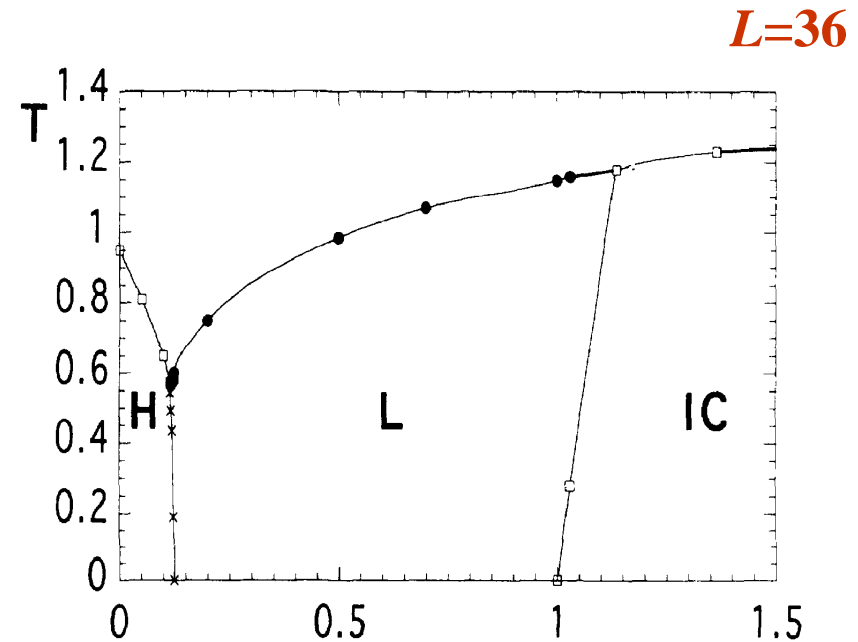
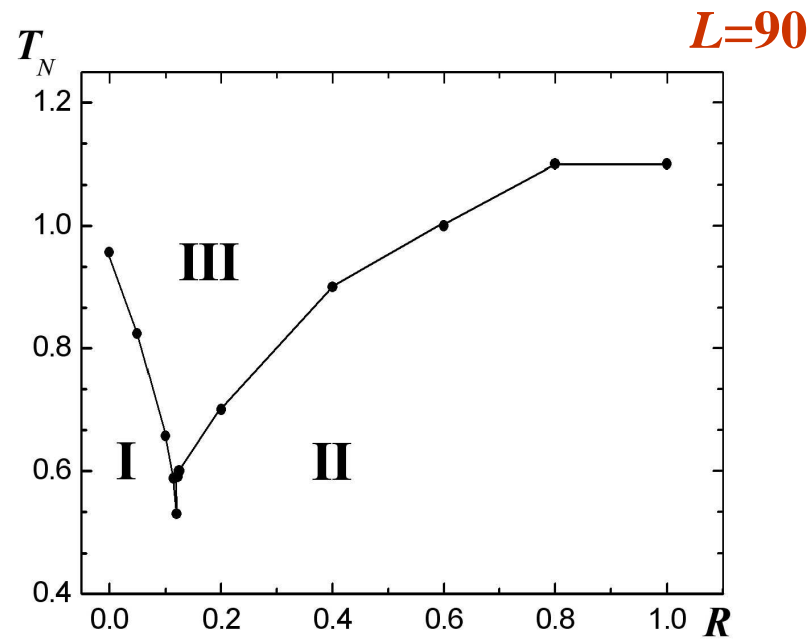


Наличие двойного максимума на энергетической гистограмме является достаточным условием для ФП первого рода

## Энергетические гистограммы для $R=0.075$ и $R=0.126$



**Фазовая диаграмма зависимости критической температуры от величины взаимодействия вторых ближайших соседей.**



**I – гелимагнитная ( $120^0$  структура )  
**II – коллинеарная  
 III - парамагнитная.****

**D. Loison, and H.T. Diep,  
 Phys. Rev. B 50, 16453 (1994).**

# ВЫВОДЫ:

- 1.** Показано, что в  $3d$  фрустрированной модели Гейзенберга на слоистой треугольной решетке для решеток малого размера ( $L \leq 30$ ) имеет место фазовый переход 2 рода и модель принадлежит к новому классу универсальности критического поведения.
- 2.** Обнаружено, что в этой модели для решеток больших размеров ( $L \geq 90$ ) имеет место фазовый переход 1 рода.
- 3.** Установлено, что в интервале значений величины взаимодействия вторых ближайших соседей  $0.0 \leq R \leq 1.0$  в системе наблюдается фазовый переход 1 рода.

СПАСИБО  
ЗА ВНИМАНИЕ